

Fig. 10

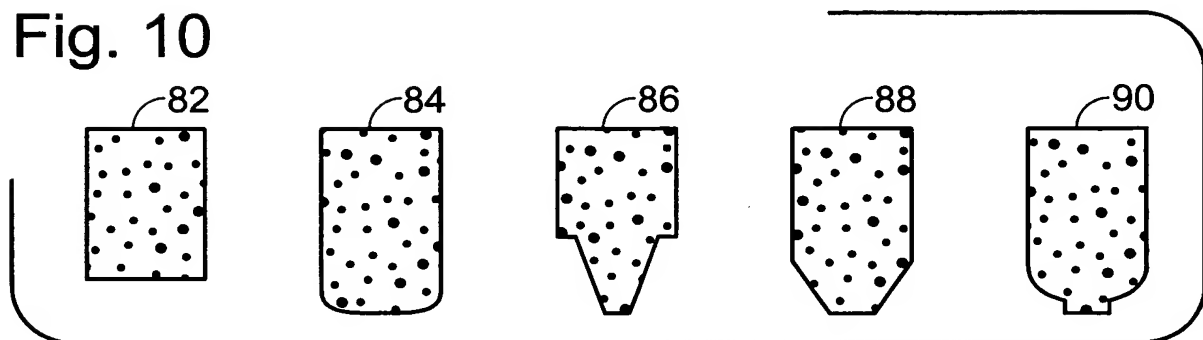


Fig. 11

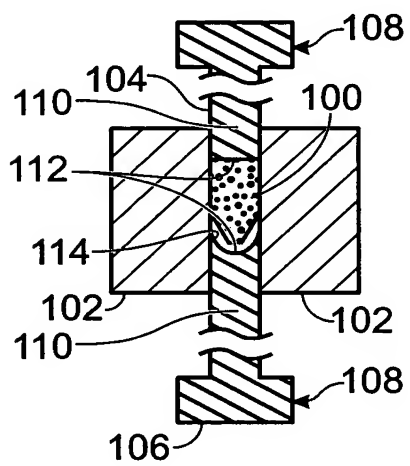


Fig. 12

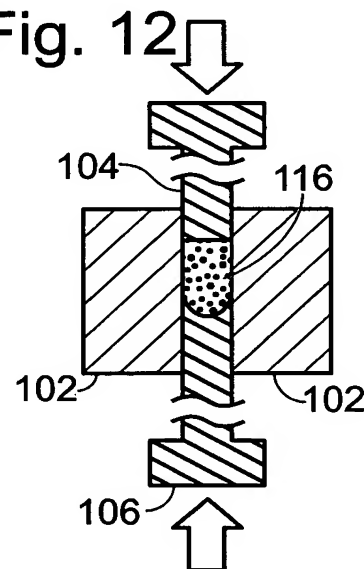


Fig. 13

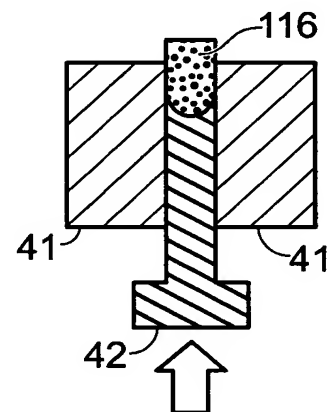
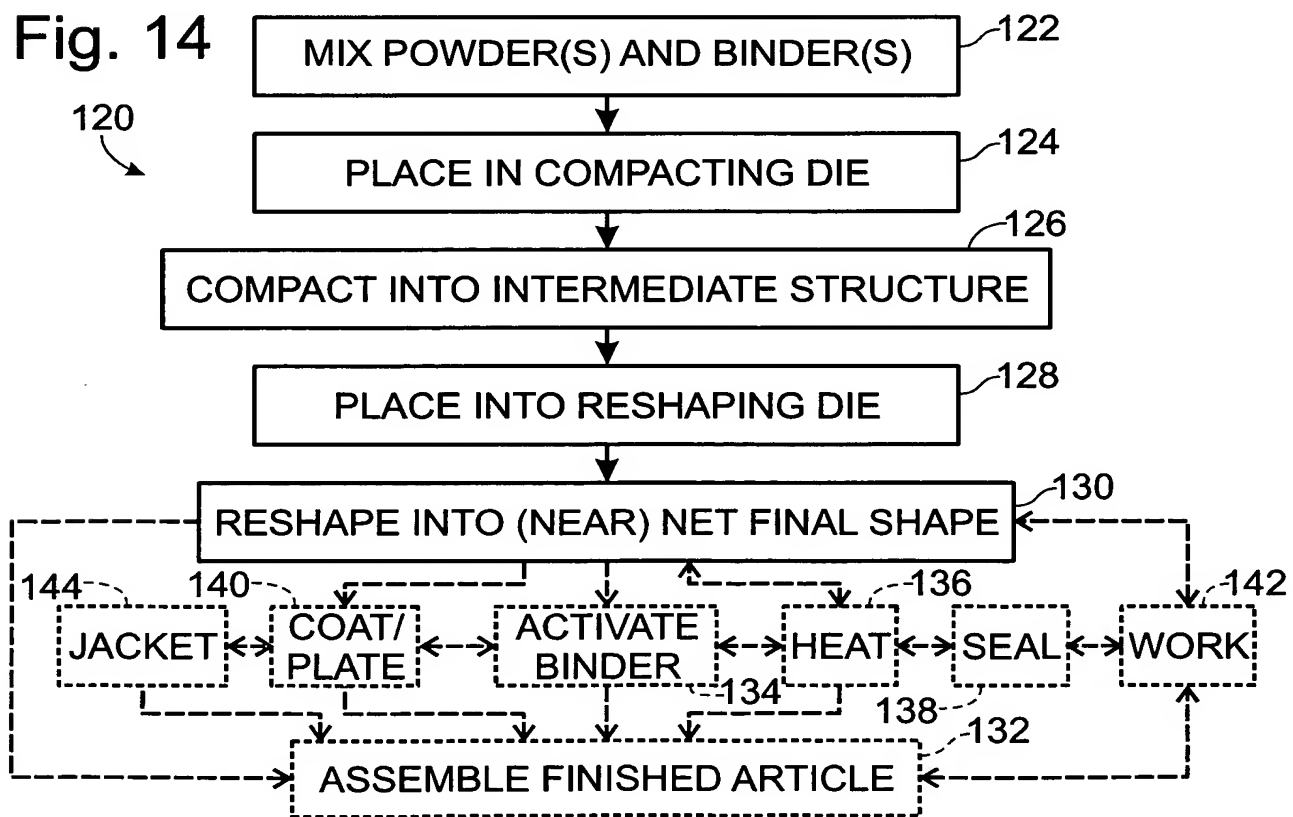


Fig. 14



3/11

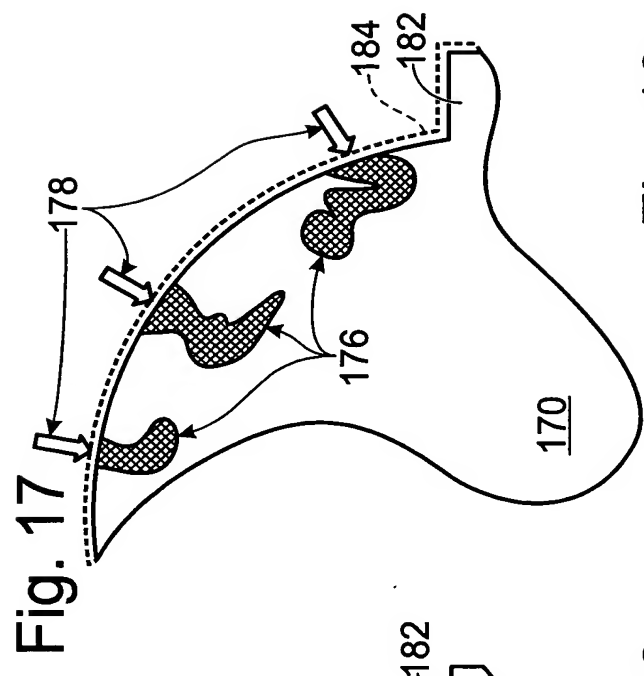
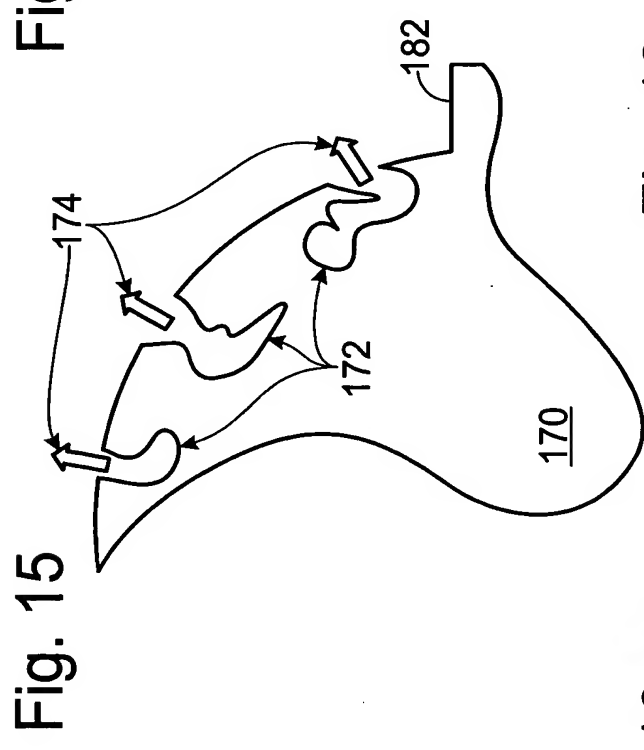


Fig. 18

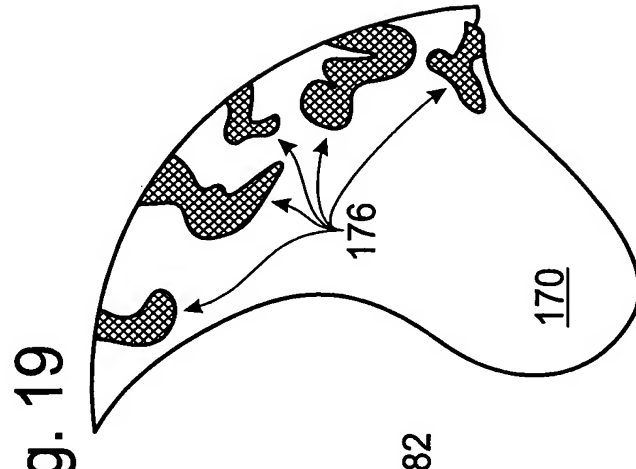


Fig. 19

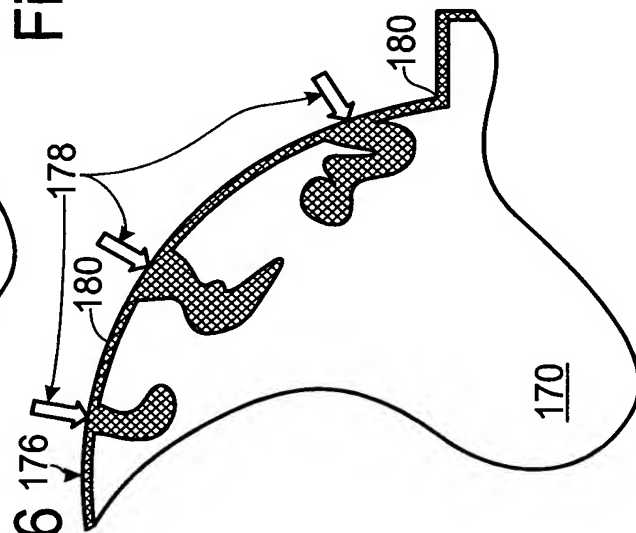


Fig. 16

4/11

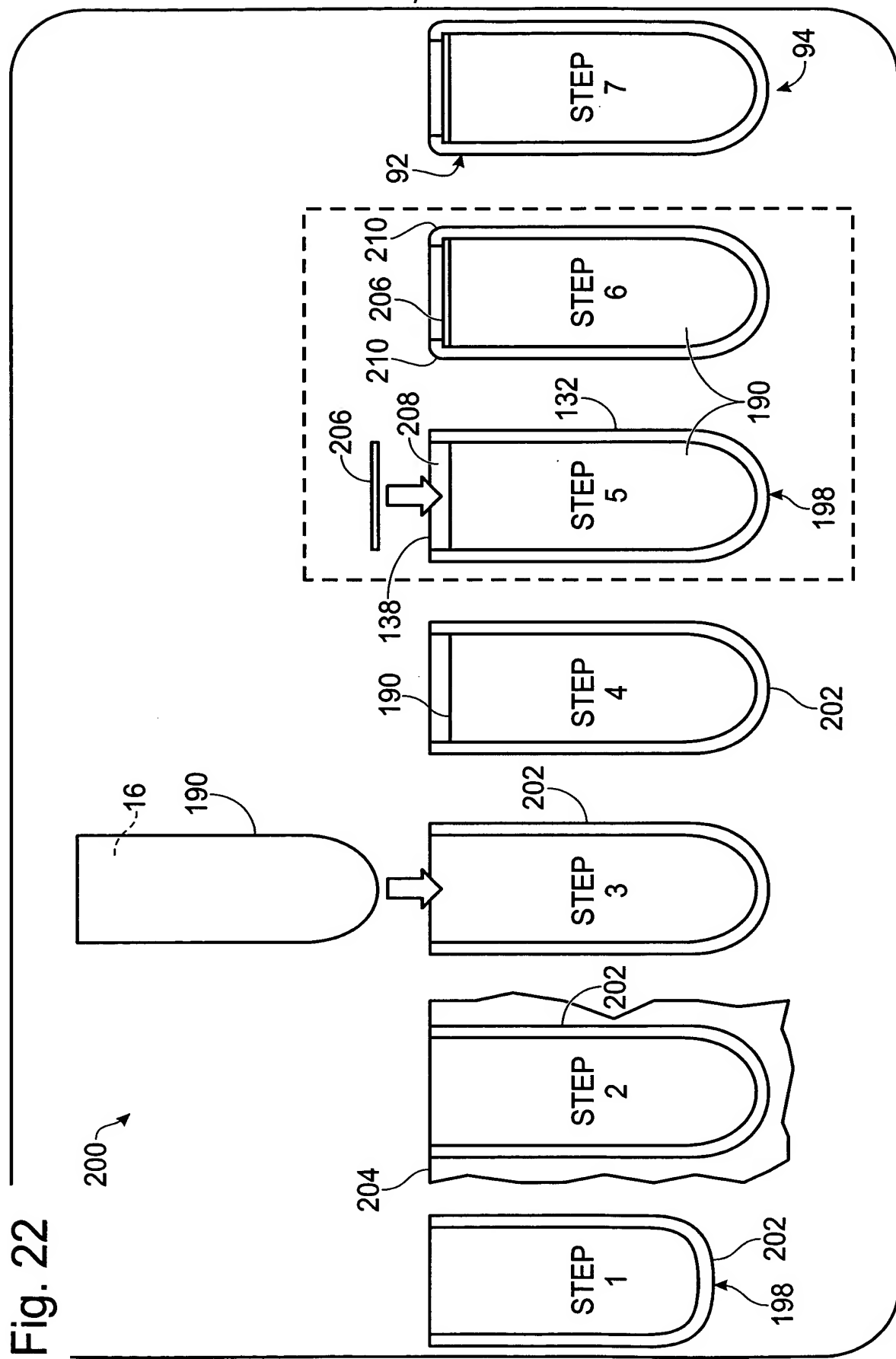
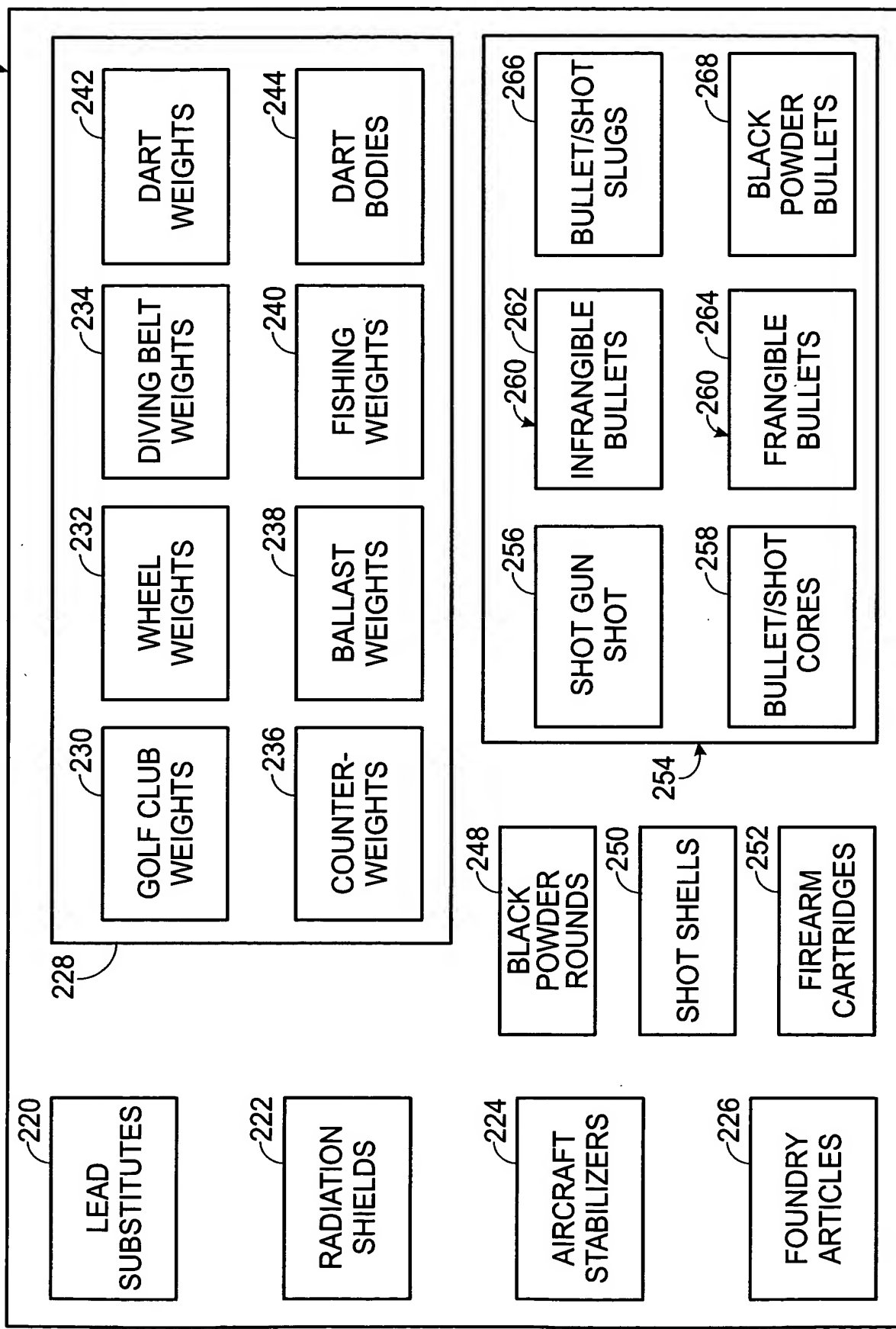


Fig. 23

10



6/11

Fig. 20

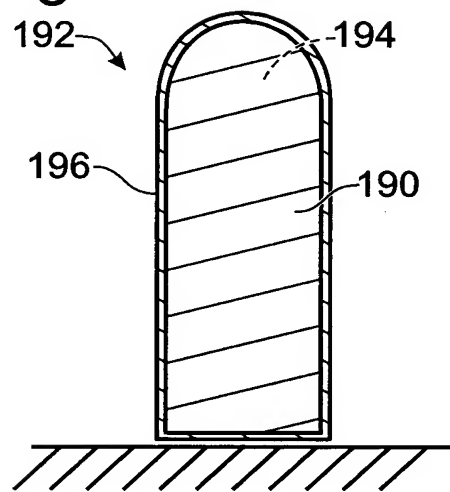


Fig. 21

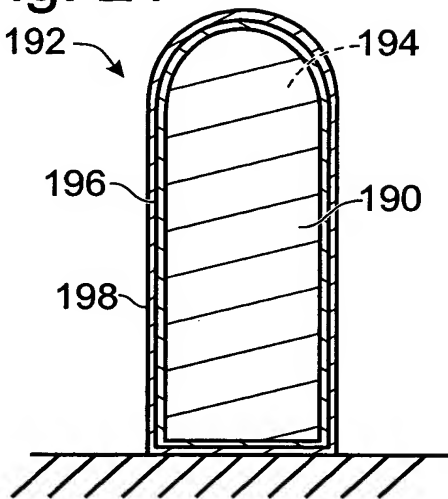


Fig. 24

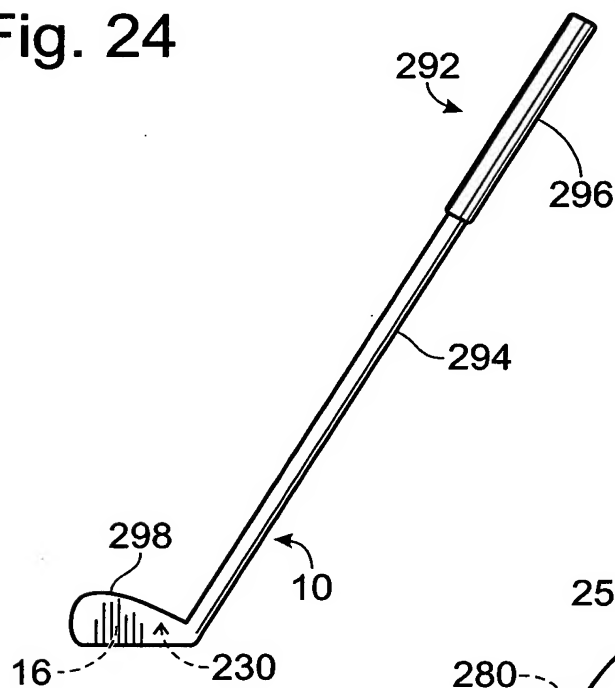


Fig. 25

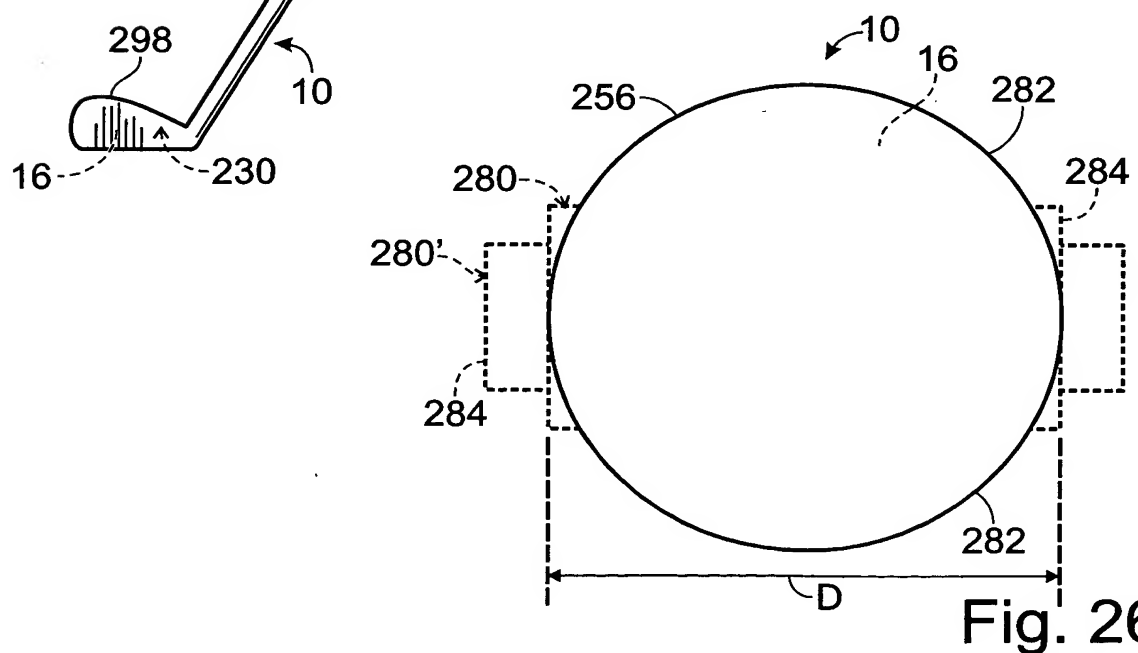
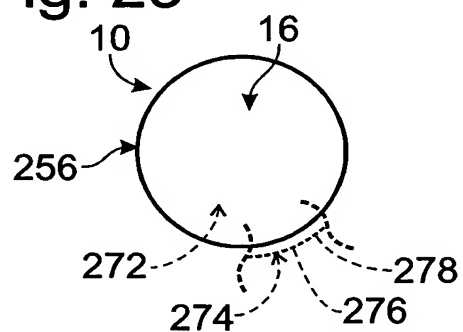


Fig. 26

7/11

Fig. 27

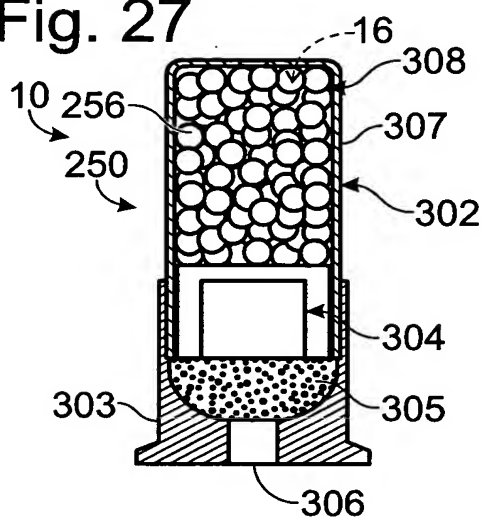


Fig. 28

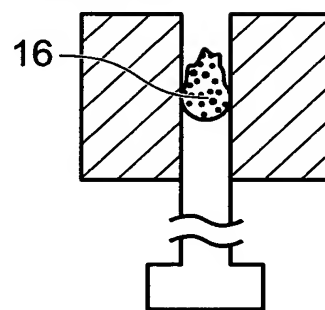


Fig. 29

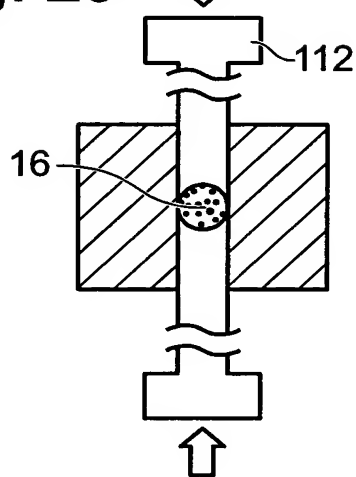


Fig. 30

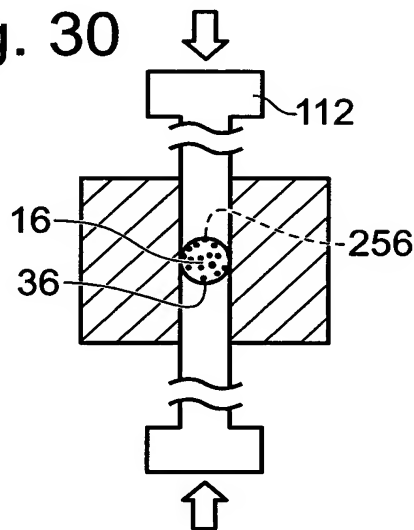


Fig. 41

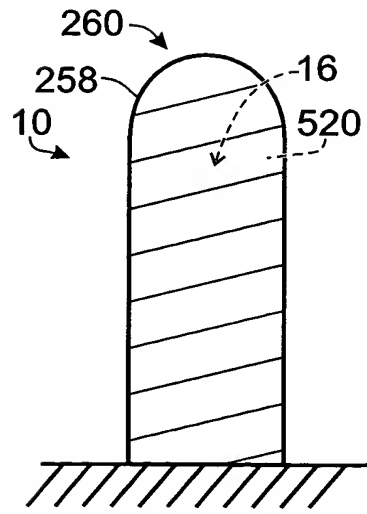


Fig. 42

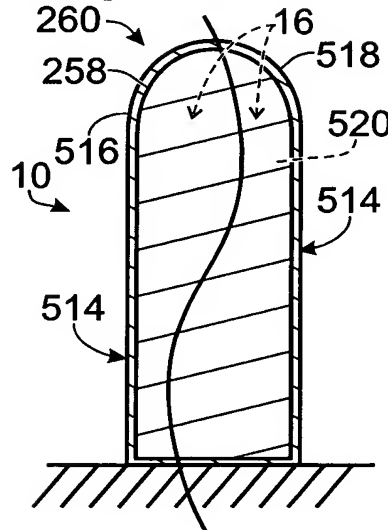
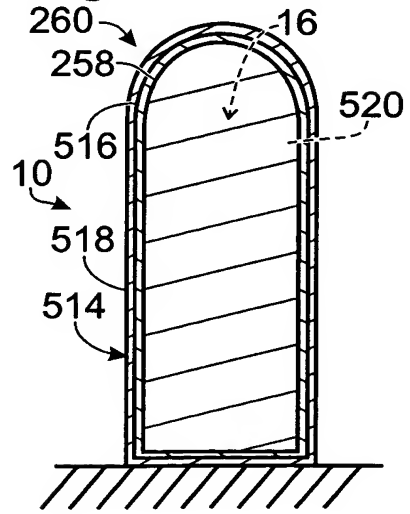
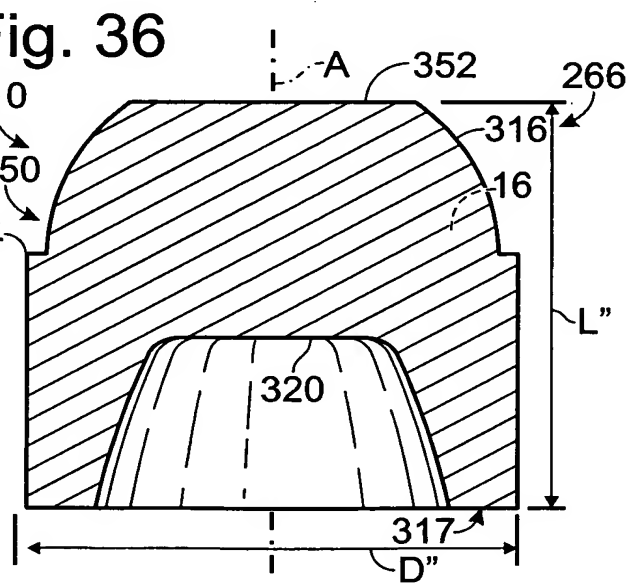
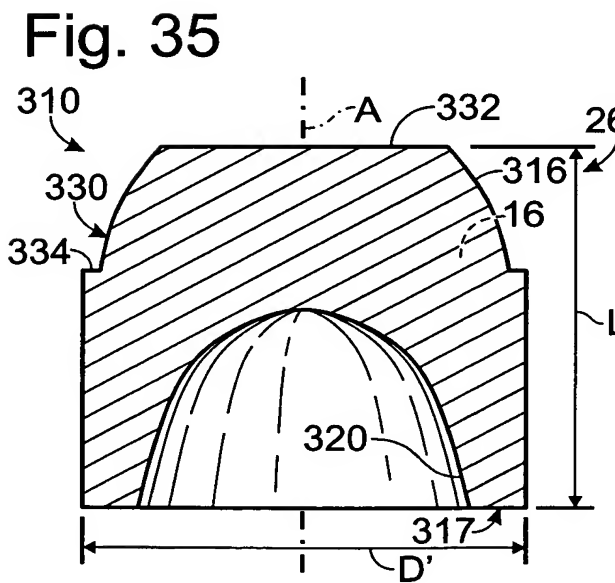
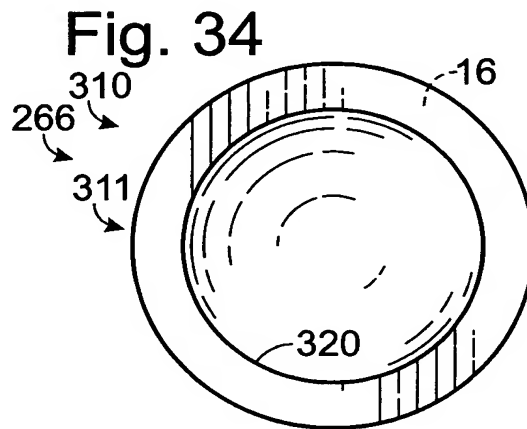
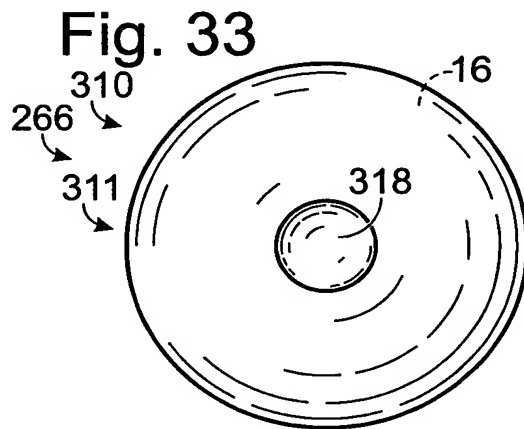
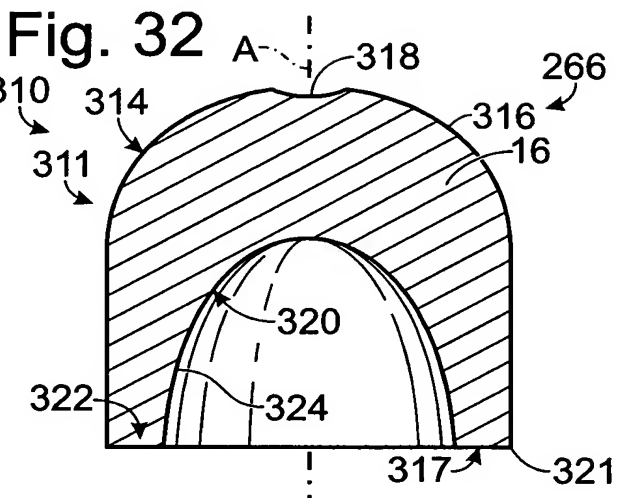
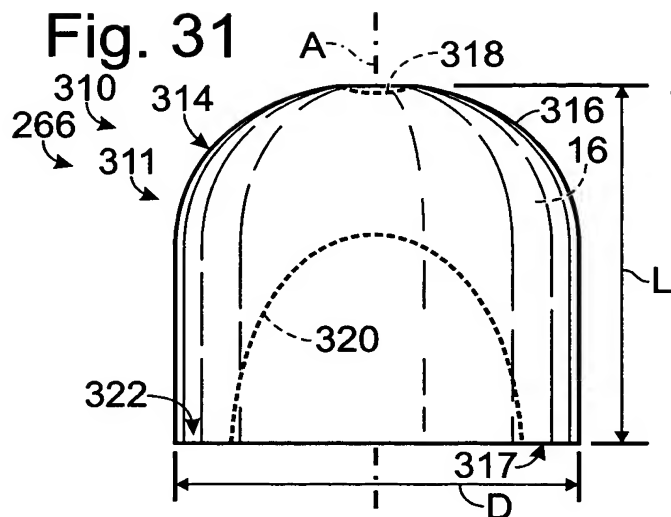


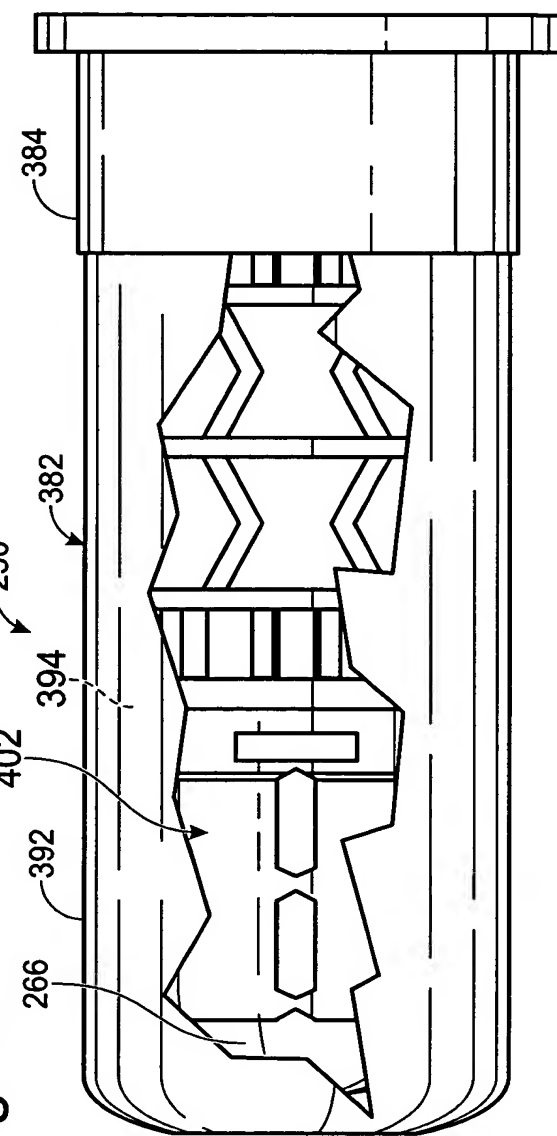
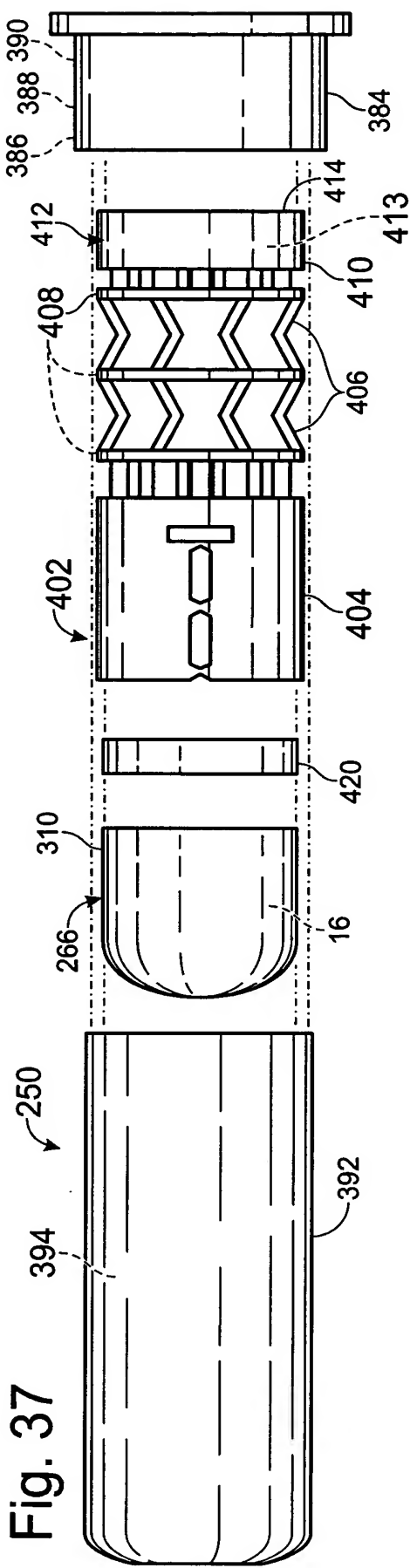
Fig. 43



8/11



9/11



10/11

Fig. 39

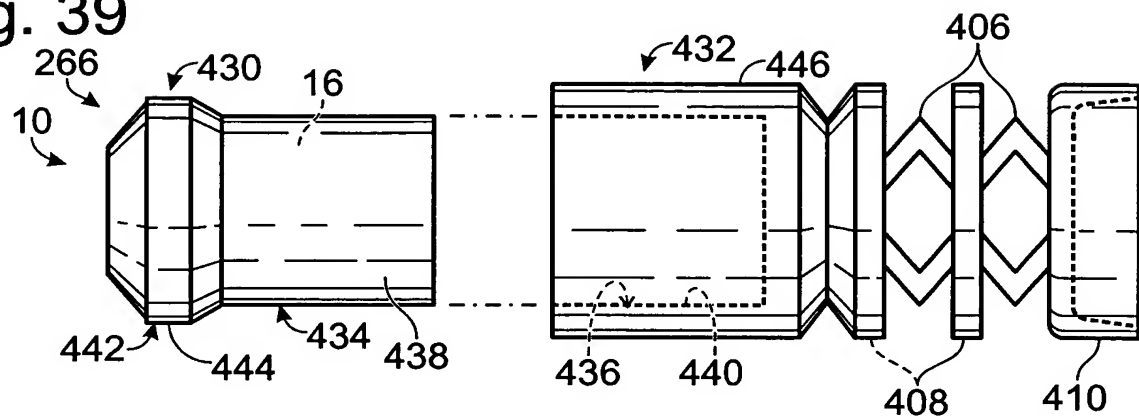


Fig. 40

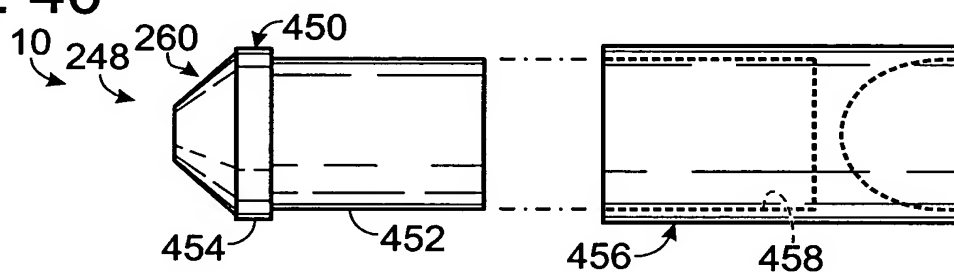


Fig. 44

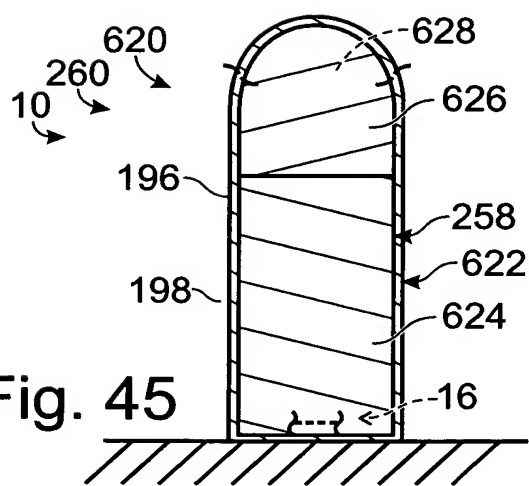
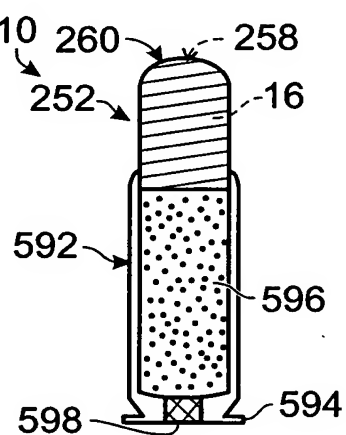


Fig. 45

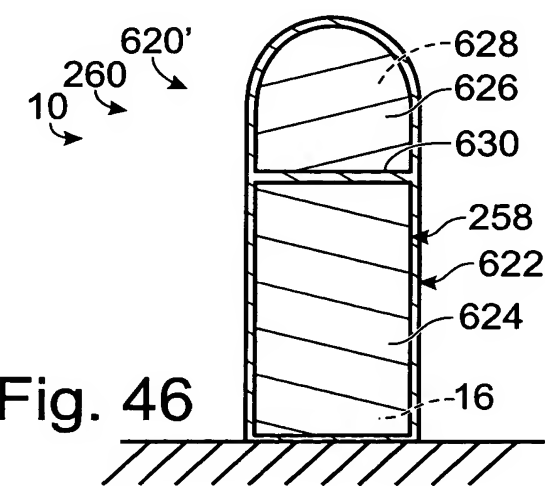


Fig. 46

11/11

Fig. 47

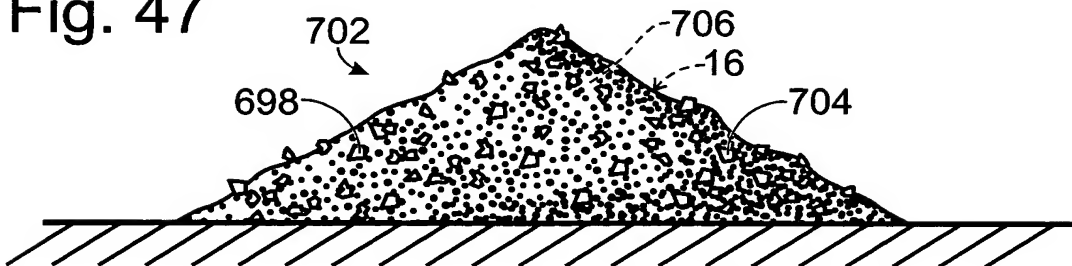


Fig. 48

